

УДК 539.37:537.226.4

©1993

# ВЛИЯНИЕ ПЕРЕМЕННОГО ЭЛЕКТРИЧЕСКОГО ПОЛЯ НА СОПРОТИВЛЕНИЕ ДЕФОРМИРОВАНИЮ СЕГНЕТОЭЛЕКТРИЧЕСКИХ КРИСТАЛЛОВ $\text{NANO}_2$

В.И.Николаев, Б.И.Смирнов

Экспериментально изучалось влияние переменного электрического поля на сопротивление деформированию сегнетоэлектрических кристаллов нитрита натрия. Установлено, что действие знакочередующихся коротких импульсов поля различной длительности приводит к появлению качественных особенностей электропластического поляризационного эффекта (ЭППЭ) по сравнению с ЭППЭ в постоянном поле. Если постоянное поле вызывает лишь кратковременный спад напряжений течения образца в момент его включения (переключения), то эффект переменного поля качественно зависит от частоты и длительности импульсов поля. В частности, в переменном поле определенной частоты наблюдается уменьшение напряжений течения на все времена действия поля. Наблюдаемые эффекты находят объяснение на основе модели взаимодействующих подвижных дислокаций и доменных стенок.

Ранее нами [1] при исследовании влияния внешнего электрического поля на кривую деформирования сегнетоэлектрических монокристаллов нитрита натрия был обнаружен и изучен своеобразный электропластический эффект (ЭПЭ), заключающийся в резком уменьшении и быстром восстановлении напряжений течения  $\tau$  при первом включении поля или при его переключении (смене знака). Эффект наблюдается только в сегнетоэлектрической фазе и обусловлен взаимодействием подвижных дислокаций и перестраивающейся при переполяризации  $180^\circ$  доменной структуры. В связи с его проявлением и природой эффект был назван электропластическим поляризационным эффектом (ЭППЭ) для отличия от обычных ЭПЭ, обусловленных воздействием поля на заряженные дислокации в полупроводниковых [2], щелочно-галоидных [3,4] и тех же сегнетоэлектрических кристаллах [5,6].

Иначе говоря, ЭППЭ связан не с самим фактом наличия электрического поля, а с переключением полярности последнего. Соответственно падение напряжений течения после включения поля происходит в течение времени  $t_1 \simeq t_s$  ( $t_s$  — время переполяризации), а их восстановление — уже за время  $t_2 > t_s$  ( $t_2$  включает в себя  $t_1$  и дополнительно определяется жесткостью машины и скоростью перемещения захватов). Если же длительность приложения поля недостаточна для полной поляризации образца ( $t < t_s$ ), то при повторном включении поля той же полярности можно снова наблюдать скачок напряжения на диаграмме (продолжение ЭППЭ), и эффект будет повторяться при каждом последующем включе-

нии, пока весь объем образца не будет поляризован в одном направлении [7].

В связи с тем что ЭППЭ обусловлен не наличием поля, а его первым включением или изменением знака, естественно, возникает интерес к изучению указанного эффекта в переменном электрическом поле. Ранее ЭПЭ в переменном поле изучался в щелочно-галоидных кристаллах [8], и оказалось, что качественно он не отличается от такового в случае постоянного поля. В настоящей работе мы исследовали влияние переменного электрического поля на сопротивление деформированию сегнетоэлектрических кристаллов  $\text{NaNO}_2$ . В результате было установлено, что действие знакочередующихся коротких импульсов поля различной длительности приводит к появлению качественных особенностей ЭППЭ, находящих объяснение в рамках модели взаимодействующих подвижных дислокаций и доменных стенок.

## 1. Экспериментальная методика

Использовались монокристаллы  $\text{NaNO}_2$ , выращенные способом Киропулоса с пределом текучести  $\tau_y = 2 \text{ МПа}$ . Рабочие образцы в виде прямоугольных параллелепипедов размером  $3 \times 3 \times 6 \text{ мм}$  выкалывались по плоскостям спайности (101) и вырезались нитяной пилой так, чтобы торцы образцов совпадали с этими плоскостями, а боковые грани попарно соответствовали плоскостям (010) и примерно (307) [9]. При этом плоскости и направление скольжения в системе (001) [100] располагались под углом  $33.4^\circ$  к оси образца и были перпендикулярны доменным стенкам. Образцы деформировались сжатием на машине с постоянной скоростью перемещения захватов  $\dot{s} = 1.6 \cdot 10^{-3} \text{ мм} \cdot \text{с}^{-1}$ . Температура опытов могла изменяться в интервале температур  $T = 290 \div 450 \text{ К}$  (кристалл  $\text{NaNO}_2$  является сегнетоэлектриком при  $T < 437 \text{ К}$ ).

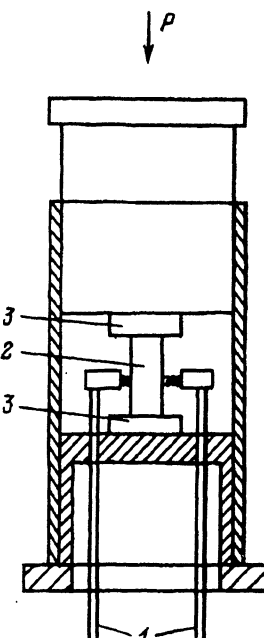


Рис. 1. Схема камеры для изучения электропластического эффекта.

- 1 — электроды,
- 2 — образец с нанесенными контактами,
- 3 — сапфировые шайбы.

Внешнее электрическое поле прикладывалось к деформируемому образцу вдоль его полярной оси через электроды из индиевой амальгамы, которые наносились на грани (010). Опыты проводились в специальной камере, которая для избежания пробоя помещалась в полиметилсиликоновую жидкость (рис. 1). Включение электрического поля осуществлялось замыканием механических ключей в цепи высокого напряжения. Максимальная напряженность электрического поля достигала  $E = 30 \text{ кВ} \cdot \text{см}^{-1}$ . Для работы с импульсными полями был изготовлен двухполлярный коммутатор высокого напряжения до 2 кВ с частотой следования импульсов до 5 Гц.

Экспериментально наблюдалось изменение напряжений течения деформируемого образца в результате включения постоянного или переменного электрического поля. При этом одновременно осуществлялось слежение за током переключения образца по схеме, аналогичной [10].

## 2. Экспериментальные результаты и их обсуждение

На рис. 2 демонстрируется изменение напряжений течения  $\tau$  и тока переключения  $i_s$  при включении электрического поля  $E$  в процессе активного нагружения образца. Видно, что включение поля приводит к синхронному изменению значений  $\tau$  и  $i_s$ . Спад напряжений начинается как раз при появлении тока переключения, причем время разупрочнения  $t_1$  приблизительно равно времени переключения  $t_s$ . Последующее восстановление напряжений происходит уже в переполяризованном образце, т.е. при  $t > t_s$ . Выключение поля не приводит к каким-либо изменениям диаграммы нагрузления.

Величина падения напряжений  $\Delta\tau$  при включении поля зависит от его напряженности  $E$  и температуры. Изменение  $\Delta\tau$  в зависимости от  $E$  для двух температур показано на рис. 3. Видно, что эффект существенно нарастает при увеличении поля до критических значений  $E_s$  и становится достаточно большим при полной переполяризации образца.

При исследовании эффекта переменного электрического поля (опыты проводились при 293 К и  $E > E_s$ ) оказалось, что действие знакочередующихся импульсов поля приводит к появлению новых качественных

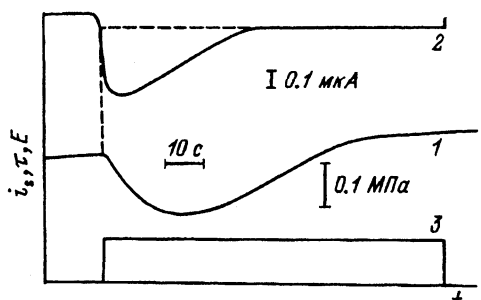


Рис. 2. Изменение напряжений течения  $\tau$  (1) и тока включения  $i_s$  (2) при включении электрического поля  $E$  (3) в процессе активного нагружения образца.

Показаны масштабы напряжений, тока и времени. Скорость пластической деформации  $\dot{\gamma} \approx 10^{-4} \text{ с}^{-1}$ .

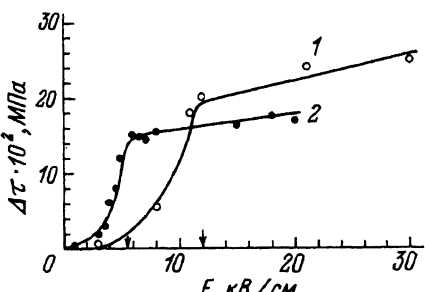


Рис. 3. Зависимость  $\Delta\tau$  от напряженности поля  $E$  в процессе деформирования образца при 290 (1) и 370 К (2). Стрелками отмечены значения  $E$ , для соответствующих температур.

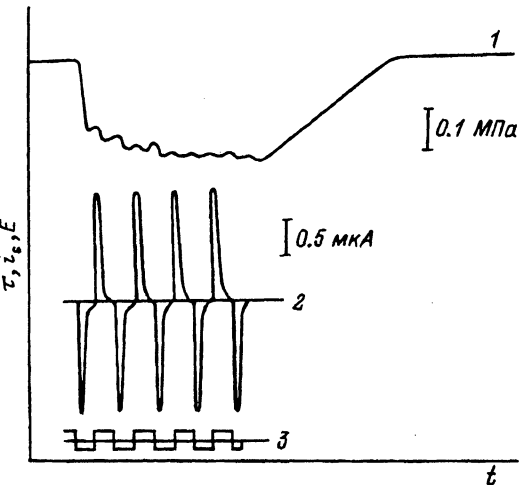


Рис. 4. Изменение напряжений течения (1) и тока переключения (2) в деформируемом образце под воздействием ряда знакочередующихся импульсов поля (3).

$$E = 6.7 \text{ кВ} \cdot \text{см}^{-1} \text{ при } t_E = 6.5 \text{ с.}$$

особенностей ЭППЭ, причем эффект зависит от длительности импульса поля  $t_E$  и его соотношения с временами  $t_s$  и  $t_2$ .

На рис. 4 показано изменение напряжений течения при знакопеременном поле в случае  $t_s < t_E < t_2$ . Видно, что в этом случае  $\tau$  быстро спадает и остается ниже первоначального уровня до тех пор, пока не прекратится воздействие поля на образец. При этом на фоне нового медленно меняющегося значения напряжений  $\tau_E$  наблюдаются осцилляции, коррелирующие с током переключения, протекающим в образце при действии очередного импульса поля. Очевидно, что осцилляции  $\tau_E$  связаны с тенденцией к восстановлению напряжений течения в кристалле после завершения процесса переполяризации, который срывается с приходом следующего импульса поля противоположной полярности.

Как оказалось, амплитуда осцилляции  $\tau_E$  зависит от частоты следования импульсов поля и падает с ее увеличением, если процесс переключения в каждом цикле не успевает пройти до конца.

Дальнейшее уменьшение длительности импульсов поля  $t_E$  и рост частоты их следования приводят к исчезновению эффекта. Так, в переменном электрическом поле с частотой 50 Гц (когда  $t_E \ll t_s$ ) уровень напряжений течения остается неизменным при любой скорости деформирования в интервале  $10^{-3} - 10^{-5} \text{ с}^{-1}$ . При этом тока в цепи образца также не наблюдается, поскольку при комнатной температуре величина  $t_s$  даже в максимальных полях, близких к пробою, намного превосходит период колебаний внешнего поля и переполяризации образца не происходит.

При уменьшении частоты следования импульсов изменяются не только частота и амплитуда осцилляций  $\Delta\tau_E$ , но и средний уровень напряжений  $\tau_E$  в поле. При этом важно не только соотношение  $t_E$  и  $t_s$ , но и  $t_E$  с временем  $t_2$ , характеризующим время до восстановления напряжений. Это проиллюстрировано на рис. 5, где приведены примеры возможных видов диаграмм нагрузления в переменном электрическом поле. Видно, что средний уровень напряжений течения в поле  $\tau_E$  может быть даже выше уровня  $\tau$  на диаграмме без поля.

Рассмотрим возможную природу наблюдавшихся эффектов. Как уже отмечалось выше, исходя из имеющихся экспериментальных данных логично предположить, что ЭППЭ при включении (переключении) электриче-

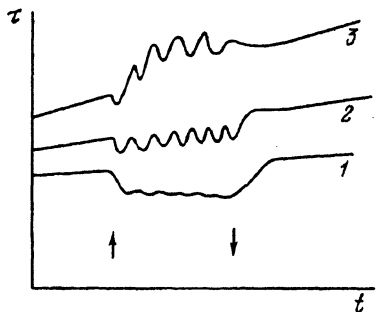


Рис. 5. Различные виды диаграмм нагружения в знакопеременном электрическом поле.

Стрелками отмечены моменты включения и выключения поля.  $t_s < t_E < t_2$  (1),  $t_E \approx t_2$  (2),  $t_E > t_2$  (3).

ского поля обусловлен взаимодействием движущихся  $180^\circ$  доменных стенок и подвижных дислокаций, которые в сегнетоэлектриках могут иметь собственный электрический заряд [11]. При этом следует подчеркнуть, что важны именно движущиеся стенки, поскольку неподвижные границы доменов практически не оказывают влияния на сопротивление движению дислокаций [7]. Более того, ранее было показано [12], что в полях с напряженностью  $E > E_s$ , в которых и наблюдается ЭППЭ, процесс переполяризации идет в основном за счет образования новых доменов и их прорастания в глубь материала при весьма незначительном боковом движении доменных стенок. Поэтому естественно считать, что важен прежде всего эффект воздействия на дислокации движущейся вершины домена, что может быть связано с наличием вблизи вершины больших локальных полей.

Исходя из вышеизложенного, можно представить себе следующую схему ЭППЭ в  $\text{NaNO}_2$ . В нагруженном кристалле скорость его пластической деформации определяется плотностью подвижных дислокаций и скоростью их перемещения. После включения (переключения) электрического поля вершины доменов в процессе поляризации начинают проходить через кристалл с высокой скоростью и, воздействуя на дислокации, облегчают их освобождение от локальных стопоров. При этом локальная плотность подвижных дислокаций в «каналах», проходимых вершинами доменов, возрастает и в них происходит дополнительная пластическая деформация. Если перемещение захватов не успевает компенсировать эту деформацию, то образец, естественно, разгружается. Последующее боковое движение доменных стенок оказывается не столь эффективным в смысле воздействия на дислокации, и поэтому уменьшение напряжений сначала замедляется, а после окончания процесса поляризации вообще прекращается. Подвижность дислокаций при этом падает и пластическая деформация также практически прекращается. В результате наступает стадия упругой деформации образца и напряжения вновь возрастают примерно до уровня, предшествующего включению поля.

Непрерывное движение доменов в знакопеременном электрическом поле существенно изменяет вид ЭППЭ. При определенном соотношении времен  $t_E$  и  $t_s$  переменное поле приводит к падению напряжения течения на все время действия импульсов поля. Исходя из предложенной модели, такое поведение образца следует связать с тем, что частое переключение поля постоянно создает в нем повышенную плотность подвижных дислокаций и процесс деформирования с заданной скоростью может протекать при меньших напряжениях. Если же длительность импульсов поля достаточно большая ( $t_E \approx t_2$ ), то в течение импульса возможно частичное или

полное восстановление напряжений течения и диаграмма деформирования образца в поле может представлять собой кривую с периодически изменяющимся уровнем напряжений.

Таким образом, в настоящей работе продемонстрировано, что действие знакопеременного электрического поля приводит к появлению качественных особенностей электропластического поляризационного эффекта в кристаллах нитрита натрия по сравнению с ЭПЭ в постоянном поле. Наблюдаемые эффекты качественно объясняются влиянием движущихся при переполяризации доменов на плотность подвижных дислокаций, обеспечивающих процесс пластической деформации.

### Список литературы

- [1] Николаев В.И., Смирнов Б.И. // ФТТ. 1985. Т. 27. № 11. С. 3369–3372.
- [2] Осипьян Ю.А., Петренко В.Ф. // ЖЭТФ. 1975. Т. 69. № 4. С. 1362–1371.
- [3] Whitworth R.W. // Phys. Stat. Sol. (a). 1976. V. 38. N 1. P. 299–304.
- [4] Куличенко А.Н., Смирнов Б.И. // ФТТ. 1981. Т. 23. № 4. С. 1029–1033.
- [5] Николаев В.И., Перцев Н.А., Смирнов Б.И. // ФТТ. 1988. Т. 30. № 10. С. 2996–3001.
- [6] Николаев В.И., Перцев Н.А., Смирнов Б.И. // ФТТ. 1991. Т. 33. № 1. С. 93–98.
- [7] Николаев В.И., Смирнов Б.И. // Тез. докл. XIII конф. по физике сегнетоэлектриков. Тверь, 1992. Т. 2. С. 71.
- [8] Brissenden S., Gardner J.W., Illingworth J., Kovacevic I., Whitworth R.W. // Phys. Stat. Sol. (a). 1979. V. 51. N 2. P. 521–526.
- [9] Николаев В.И., Смирнов Б.И., Иванцов В.А. // ФТТ. 1985. Т. 27. № 8. С. 2519–2521.
- [10] Hamano K. // J. Phys. Soc. Japan. 1973. V. 35. N 1. P. 157–163.
- [11] Перцев Н.А. // ФТТ. 1988. Т. 30. № 9. С. 2805–2814.
- [12] Иванцов В.А., Николаев В.И., Попов И.Н. // ФТТ. 1987. Т. 29. № 6. С. 1855–1857.

Физико-технический институт  
им. А.Ф.Иоффе РАН  
Санкт-Петербург

Поступило в Редакцию  
19 мая 1993 г.